



XVII Reunión Española sobre Criptología y Seguridad de la Información

Asignación multiclase de la severidad de IPs mediante aprendizaje no supervisado

Noemí DeCastro-García, *Universidad de León*

David Escudero García, *RIASC, Universidad de León*

Introducción

- Objetivo: caracterizar direcciones IP asociadas a eventos en diferentes grados de severidad
- Estimar correctamente el grado de amenaza para responder correctamente

Introducción

Sección
experimental

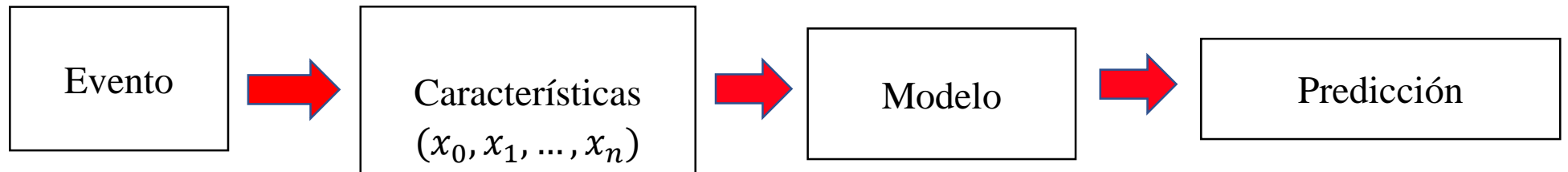
Resultados y
discusión

Conclusiones



Esquema

- Uso de machine learning no supervisado
- Selección de las características
 - Mayor tasa de acierto con mayor complejidad; más difícil de implementar



Introducción

Sección
experimental

Resultados y
discusión

Conclusiones



Características (I)

Introducción

Sección
experimental

Resultados y
discusión

Conclusiones

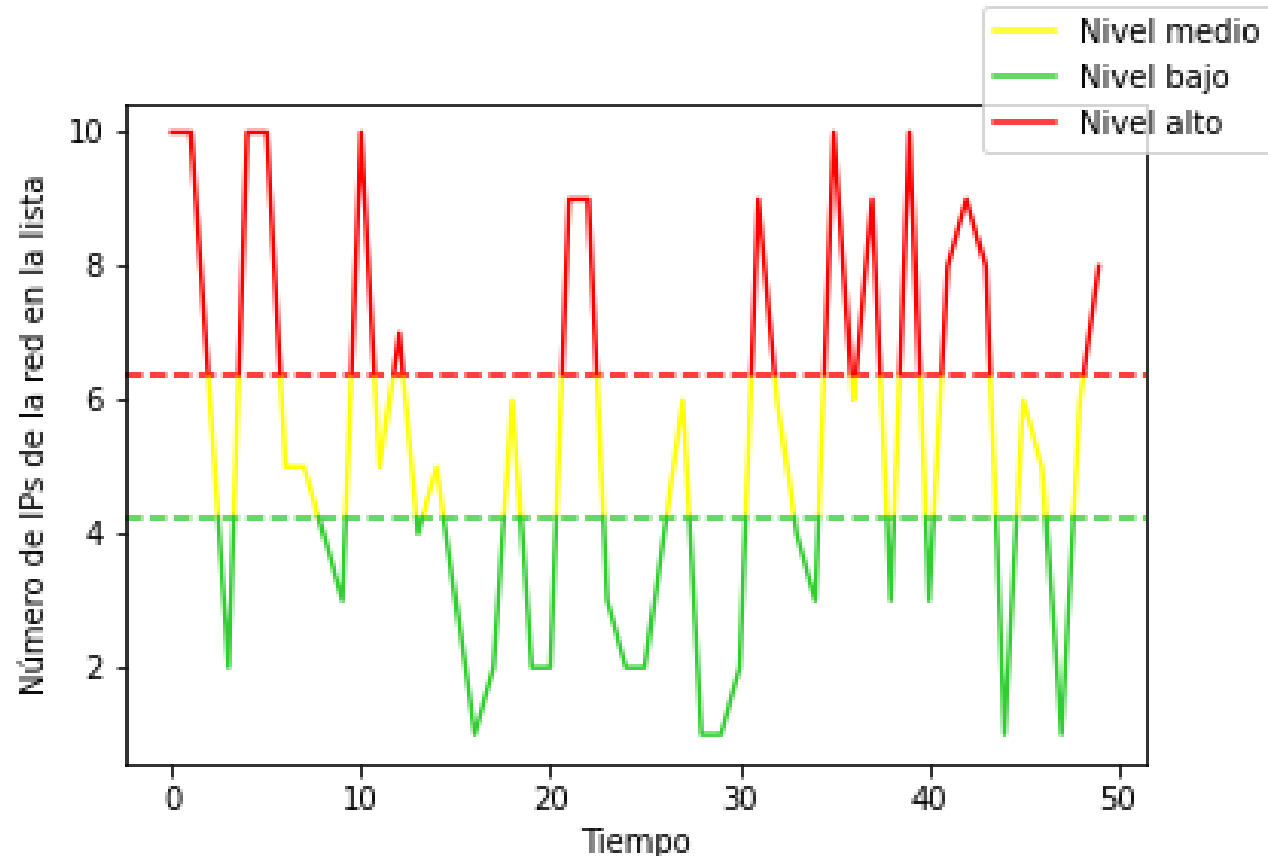
- Información propia de los eventos, sin apenas preprocesado
 - La propia IP, representada numéricamente.
 - Fecha de ocurrencia (timestamp)
 - Geolocalización: latitud, longitud, código ISO de país.



Características (II)

- Para cada subred, se forma una serie temporal que se divide en 3 franjas [1]:

- Bajo: $\leq \text{media} * (1 - \delta)$
- Alto: $\geq \text{media} * (1 + \delta)$



[1] Y. Liu, J. Zhang, A. Sarabi, M. Liu, M. Karir, and M. Bailey, "Predicting cyber security incidents using feature-based characterization of network-level malicious activities," 2015, ACM International Workshop on International Workshop on Security and Privacy Analytics

Introducción

Sección experimental

Resultados y discusión

Conclusiones



Datos

- 99720 eventos de mayo de 2021
- 4 niveles de severidad
- Modelos:
 - K-Means
 - DBSCAN

Severidad	Porcentaje
1	8.42
3	25.03
6	54.58
9	11.97

Introducción

**Sección
experimental**

Resultados y
discusión

Conclusiones



Métricas

- Al usar aprendizaje no supervisado es necesario trasladar los grupos a predicciones
- Tasa de acierto
- Coeficiente de correlación de Matthews

$$\frac{TP.TN - FP.FN}{\sqrt{(TP.FP)(TP.FN)(TN.FP)(TN.FN)}}$$

TP = verdadero positivo

TN = verdadero negativo

FP = falso positivo

FN = falso negativo

- Eficaz con datos desbalanceados

Introducción

Sección
experimental

**Resultados y
discusión**

Conclusiones



Resultados

Algoritmo	MCC	Tasa de acierto
K-Means	0.512	0.637
DBSCAN	0.488	0.594

- Características de geolocalización no muy informativas: la mayoría en España
- Insuficientes datos para el análisis de series temporales

Introducción

Sección
experimental

**Resultados y
discusión**

Conclusiones



Modificaciones (I)

Introducción

Sección
experimental

**Resultados y
discusión**

Conclusiones

- Más características[2]:
 - IPs pertenecientes a una clase presentes en la red de la IP
 - $Score(IP)_c = \text{Número de direcciones con clase } c \text{ en la red de IP}$

IP	Clase	Score_1	Score_3	Score_9
123.45.23.12	1	2	1	0
123.45.23.45	1	2	1	0
187.145.34.56	9	0	0	1
123.45.23.7	3	2	1	0



[2]Moura, G.C.M., Sadre, R., Pras, A., 2014. Taking on internet bad neighborhoods, in 2014 IEEE Network Operations and Management Symposium

Modificaciones (II)

- Más características[3]:

- Frecuencia normalizada de características categóricas respecto de la clase

- $$FN(d_{ij})_c = \frac{\text{Número de IPs con clase } c \text{ cuya característica } d_i \text{ tiene valor } j}{\text{Número de IPs con clase } c}$$

IP	Clase	País	País_1	País_3	País_9
123.45.23.12	1	España	0.5	1	0
123.45.23.45	1	Francia	0.5	0	0
187.145.34.56	9	Alemania	0	0	1
123.45.23.7	3	España	0.5	1	0

[3] Renjan, A., Joshi, K.P., Narayanan, S.N., Joshi, A., 2018. Dabr: Dynamic attribute based reputation scoring for malicious ip address detection, in 2018 IEEE International Conference on Intelligence and Security Informatics (ISI)

Introducción

Sección
experimental

Resultados y
discusión

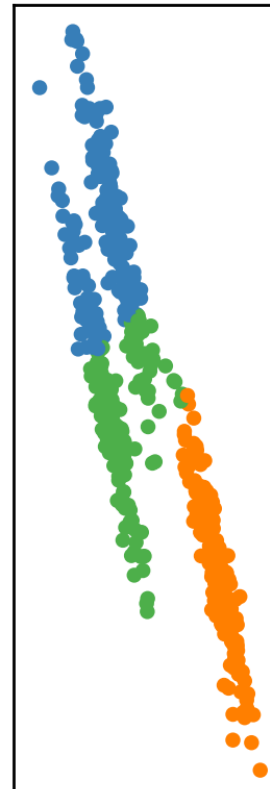
Conclusiones



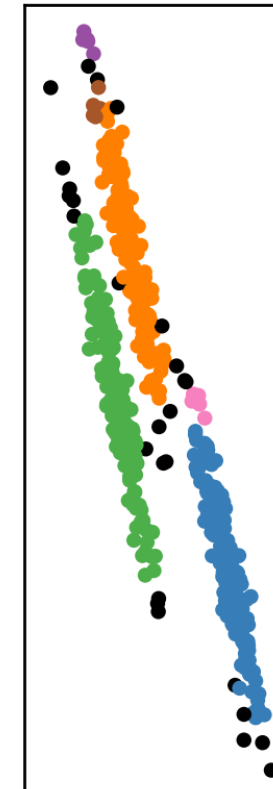
Modificaciones (III)

- Mayor variedad de modelos
 - Modelos de mezcla Gaussiana
 - CLARA

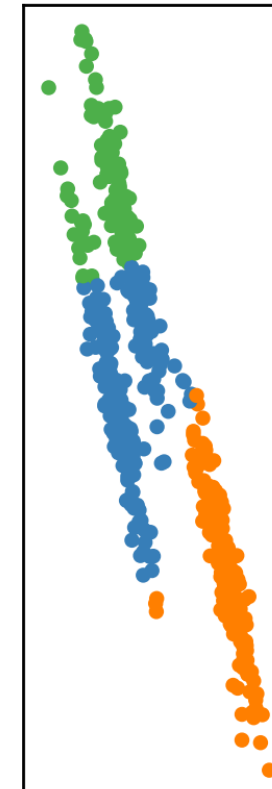
KMeans



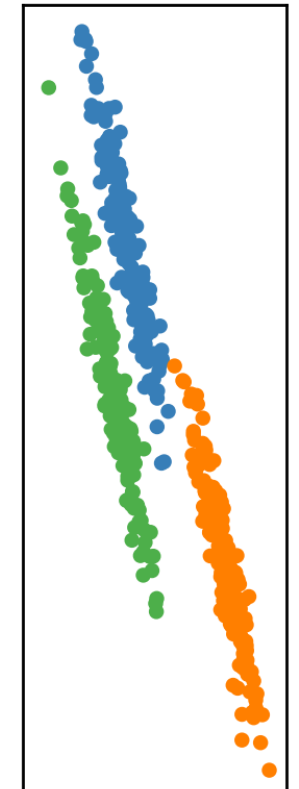
DBSCAN



CLARA



Gaussiana



Introducción

Sección
experimental

**Resultados y
discusión**

Conclusiones

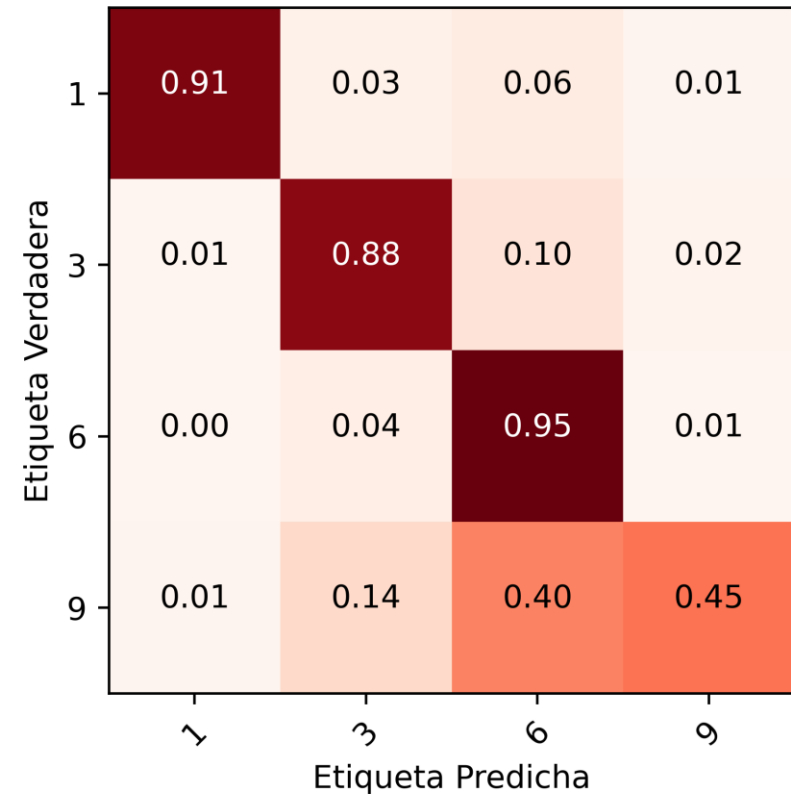
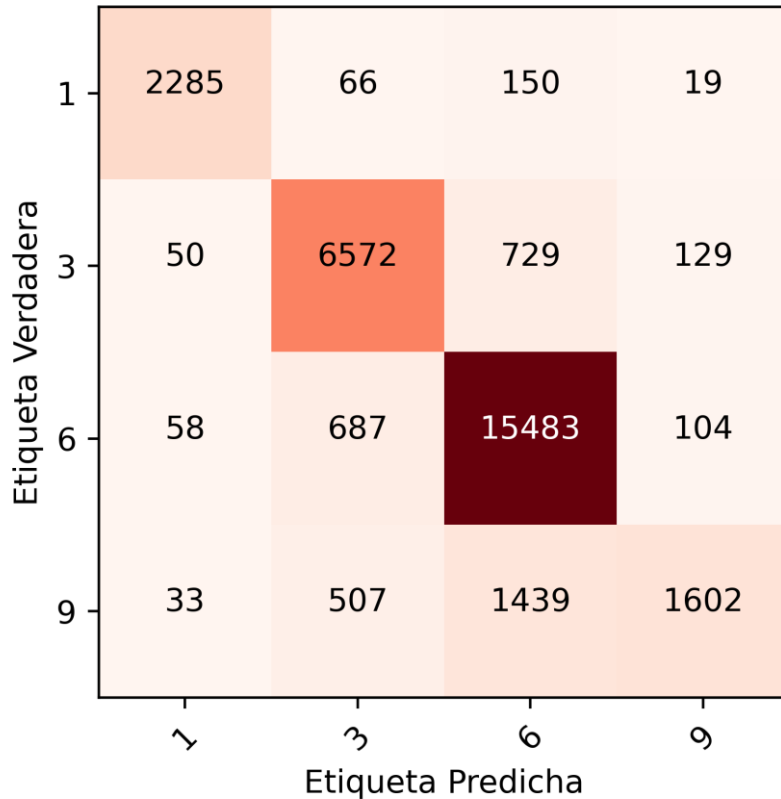


RECSI

2022

Nuevos resultados

Algoritmo	Tasa de acierto	MCC
Mezcla Gaussiana	0.867	0.781



Introducción

Sección experimental

Resultados y discusión

Conclusiones

